

محاسبه خرپا بعنوان تیرجان پربان نرمی برشی

نوشته: دکتر مجید صادق آذر، استادیار دانشکده فنی - دانشگاه تهران

چکیده

خرپا به تیرجان پربان نرمی برشی تبدیل می‌گردد و ضخامت جان نیمرخ معادل برای انواع مختلف شبکه بندی خرپا محاسبه می‌شود. سپس روابط اساسی برای محاسبه دستگاههای ساختمانی متشکل از تیرهای جان پربان نرمی برشی به کمک روش نیرو و همچنین روش افت - شیب ذکر می‌شوند. در خاتمه جداول لازم برای محاسبات سریع خرپاهای یکسره تدوین می‌شوند.

۱- مقدمه:

محاسبه تغییر شکل خرپاهای معین و نیز تغییر شکل و نیروی عضوهای خرپاهای نامعین در عمل وقت گیر می‌باشد. در اینجا روشی ارائه می‌شود که بتوان خرپاها را در اسرع وقت محاسبه و یا محاسبات انجام یافته را با دقت کافی کنترل کرد. برای این منظور خرپا به یک تیرجان پربان نرمی برشی تبدیل می‌شود. و محاسبه تغییر شکل تیرها در نظر گرفتن نرمی برشی آن انجام می‌گیرد. تیرجان پربان نرمی برشی "تیرجان پربش نرم" یا بطور کوتاه "تیر برش نرم" نامیده می‌شود. تغییر شکل حاصل از برش در تیرجان پربش نرم در مقایسه با تغییر شکل حاصل از خمش، برخلاف تیرجان پرمعمولی، کوچک نمی‌باشد و نمی‌توان از مقدار تغییر شکل برشی در کل تغییر شکل تیر چشم پوشی کرد. خرپاها، تیرهای ویراندل و تیرهای فشرده (تیرهای درشت)، نوع متداول تیر برش نرم می‌باشند.

در بخش ۲ این مقاله روابط اساسی برای تبدیل خرپا به یک تیرجان پربش نرم، و محاسبه ضخامت جان نیمرخ معادل و ضریب نرمی برشی آن برای انواع مختلف شبکه بندی خرپا بدست آورده می‌شود. در بخش ۳ محاسبه دستگاههای ساختمانی نامعین متشکل از تیرهای برش نرم به کمک روش نیرو و روش افت - شیب ذکر می‌گردد. بالاخره در بخش ۴ جداولی برای محاسبه خرپاهای یکسره تحت بار یکنواخت تدوین و کاربرد آنها به صورت دو مثال ذکر می‌گردد.

۲- ضخامت جان معادل و نرمی برشی

برای محاسبه خرپا به صورت تیرجان پربان نرمی برشی، احتیاج به تعیین نیمرخ معادل و همچنین ضریب نرمی برشی تیر تبدیل یافته می‌باشد. نیمرخ معادل عبارت از یک نیمرخ به شکل I می‌باشد (شکل ۲) که مقاطع بال بالائی و پائینی آن بترتیب برابر مقاطع عضو بالائی و پائینی خرپا بوده و ارتفاع آن e برابر ارتفاع خرپا می‌باشد. ضخامت جان نیمرخ معادل t بستگی به نوع شبکه بندی خرپا دارد. برای بدست آوردن t و همچنین برای تعیین ضریب نرمی برشی تیر، از تساوی انرژی تغییر شکل نیروهای برشی استفاده می‌شود. به این معنی که انرژی تغییر شکل ناشی از نیروهای برشی، برای جان تیر تبدیل یافته و خرپای اولیه مساوی قرار داده می‌شود.

۱-۲- نرمی برشی κ_s

$$\kappa_s = \frac{\kappa}{GA} \cdot \frac{EI}{l^2}$$

نرمی برشی κ_s یک تیر در محاسبه سازه‌ها با رابطه زیر تعریف می‌شود (۱)

در رابطه فوق $E =$ مدول کشسانی 1 ، $G =$ مدول برش، $I =$ گشت اورجینشی 2 ، $A =$ مساحت سطح مقطع و $l =$ طول تیر می باشد. ضریب تقسیم برش λ ، از رابطه زیر بدست می آید:

$$\lambda = \frac{A}{A_Q} \quad (2)$$

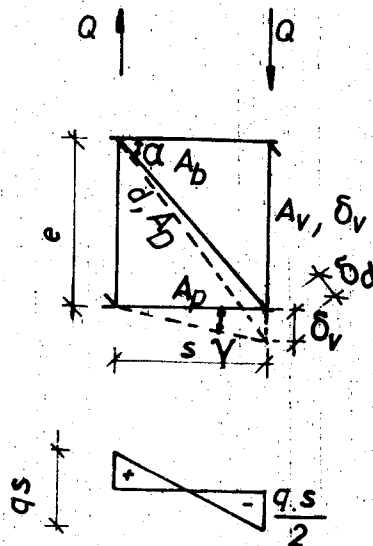
" A_Q مقطع مقاوم برشی بوده و مقدار آن بستگی به شکل و ابعاد نیمرخ داشته و در کتب مقاومت مصالح معمولاً ذکر شده است. برای تیرهای بشکل I با تقریب متناسب میتوان نوشت:

$$A_Q = e \cdot t' \quad (3)$$

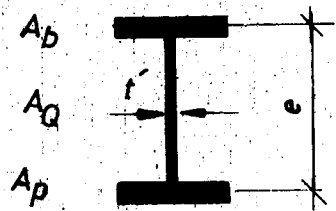
با استفاده از روابط (۱) و (۳) خواهیم داشت:

$$\lambda_s = \frac{E}{G} \cdot \frac{I}{e \cdot t' \cdot l^2} \quad (4)$$

در رابطه فوق به تعیین ضخامت جان نیمرخ معادل t' احتیاج است که در زیر انجام می گیرد:



شکل ۱- تغییر شکل برشی بند خریب



شکل ۲- نیمرخ معادل

۲-۲ ضخامت جان معادل

انرژی تغییر شکل برشی در کل حجم V یک تیر عبارت است از: $u = -\frac{1}{2} \int \tau \gamma dv$ که در آن τ و γ به ترتیب تنش و کرنش برشی می باشند. سطح مقطع نیمرخ معادل از سه قسمت بال بالایی، جان و بال پایینی تشکیل یافته است. اگر مساحت هر قسمت با A_i و طول آن با s_i نشان داده شود رابطه فوق را می توان بصورت زیر نوشت:

$$u = -\frac{1}{2} \sum_{i=1}^3 \int \tau_i \cdot \gamma_i \cdot dv_i = -\frac{1}{2} \sum_{i=1}^3 s_i \int \tau_i \cdot \gamma_i \cdot dA_i \quad (5)$$

با در نظر گرفتن اینکه هر قسمت از سطح مقطع از ورقهای به ضخامت ثابت t_i و ارتفاع ثابت e_i تشکیل یافته است $(A_i = e_i \cdot t_i)$ و همچنین با استفاده از روابط $\gamma_i = \frac{\tau_i}{G}$ و $\tau_i = \frac{q_i}{t_i}$ از آن که در آن q_i جریان برشی قسمت i می باشد، رابطه (۵) به صورت زیر در می آید:

$$u = \sum_{i=1}^3 \frac{q_i^2}{2G} \cdot \frac{e_i \cdot s_i}{t_i} \quad (6)$$

u سهم انرژی تغییر شکل برشی جان نیمرخ معادل به ضخامت t از انرژی تغییر شکل برشی u مربوط به کل سطح مقطع عبارت است از:

$$u' = \frac{q^2 \cdot s}{2G} \cdot \frac{e}{t} \quad (7)$$

که در آن q جریان برشی در جان نیمرخ بوده و برآیند جریان برشی q در ارتفاع جان e عبارت از نیروی برشی $Q=q \cdot e$ است چون این تیرجان پربرش نرم معادل خرپای حقیقی می باشد پس باید انرژی تغییر شکل u' در اثر Q در جان نیمرخ معادل مساوی انرژی تغییر شکل u'' در اثر Q در شبکه بندی خرپا باشد. یعنی:

$$u' = u''$$

برای بدست آوردن u'' احتیاج به محاسبه نیروی عضوهای شبکه بندی خرپا در اثر Q می باشد و به طور نمونه شبکه بندی خرپای سطر ۱ جدول شماره ۱ انتخاب می شود. نیروی عضوهای خرپا در اثر Q طبق شکل ۱ از تعادل نیروها در هر بند خرپا بدست می آید و بشرح زیر است:

$$N_v = Q = q \cdot e \quad \text{نیروی عضو قائم:}$$

$$N_d = \frac{Q}{\sin \alpha} = q \cdot e \cdot \frac{d}{e} = q \cdot d \quad \text{نیروی عضو قطری:}$$

$$N_b = N_p = \frac{1}{2} Q \cdot \cot \alpha = \frac{1}{2} q \cdot e \cdot \frac{s}{e} = \frac{1}{2} q \cdot s \quad \text{نیروی عضوهای بالائی و پائینی } N_b \text{ و } N_p \text{ در انتهای عضو:}$$

علامت Q در دو انتها متفاوت می باشد و پخش نیروهای N_p و N_b خطی بوده در شکل ۱ رسم شده است. انرژی کرنشی عضوهای خرپا با توجه به نیروهای N_d ، N_v ، N_p و N_b و پخش آنها بر روی اعضا بشرح زیر می باشد:

$$u_b'' = \frac{1}{2E \cdot A_b} \cdot \frac{s}{3} \cdot (q \cdot \frac{s}{2})^2 = \frac{q^2}{2E} \cdot \frac{s^3}{12A_b} \quad (8a) \quad b \text{ عضو بال بالائی}$$

$$u_d'' = \frac{1}{2E \cdot A_d} \cdot d \cdot (q \cdot d)^2 = \frac{q^2}{2E} \cdot \frac{d^3}{A_d} \quad (8b) \quad d \text{ عضو قطری}$$

$$u_v'' = \frac{1}{2E \cdot A_v} \cdot e \cdot (q \cdot e)^2 = \frac{q^2}{2E} \cdot \frac{e^3}{A_v} \quad (8c) \quad v \text{ عضو قائم}$$

$$u_p'' = \frac{1}{2E \cdot A_p} \cdot \frac{s}{3} \cdot (\frac{q \cdot s}{2})^2 = \frac{q^2}{2E} \cdot \frac{s^3}{12A_p} \quad (8d) \quad p \text{ عضو بال پائینی}$$

u'' از مجموع انرژیهای فوق بدست می آید:

$$u'' = \frac{q^2}{2E} \left[\frac{d^3}{A_d} + \frac{e^3}{A_v} + \frac{s^3}{12} \left(\frac{1}{A_b} + \frac{1}{A_p} \right) \right] \quad (8e)$$

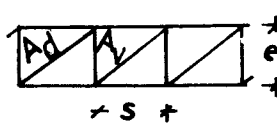
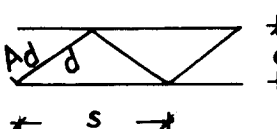
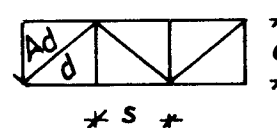
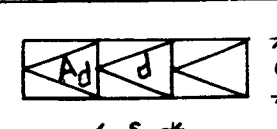
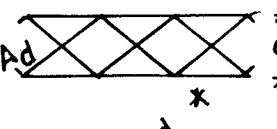

ضخامت جان نیمرخ معادل t از تساوی $u' = u''$ بدست می آید:

$$t' = \frac{E}{G} \cdot \frac{s \cdot e}{\frac{d^3}{A_d} + \frac{e^3}{A_v} + \frac{s^3}{12} \left(\frac{1}{A_b} + \frac{1}{A_p} \right)} \quad (9)$$

در رابطه فوق A_d ، A_v ، A_b و A_p بترتیب مساوی مساحت سطح مقطع عضوهای قطری d ، قائم v ، بال بالائی b و بال پائینی p خرپا میباشد. نرمی برشی G خرپای فوق از قرار دادن t' در رابطه (۴) بدست آمده و در سطر ۱ جدول شماره ۱ ذکر شده است.

برای انواع دیگر شبکه بندی خریا می توان مثل روش فوق عمل کرد. مقدار t و χ_s برای بعضی دیگر از شبکه بندی ها در جدول شماره ۱ ذکر شده است.

جدول شماره ۱ - ضخامت معادل t و نرمی برشی χ_s

	1	2	3
		t	χ_s
1		$\frac{E}{G} \cdot \frac{s \cdot e}{\frac{d^3}{A_d} + \frac{e^3}{A_v} + \frac{s^3}{12} \left(\frac{1}{A_b} + \frac{1}{A_p} \right)}$	$\frac{1}{12} \cdot \frac{\frac{d^3}{A_d} + \frac{e^3}{A_v} + \frac{s^3}{12} \left(\frac{1}{A_b} + \frac{1}{A_p} \right)}{s \cdot e^2}$
2		$\frac{E}{G} \cdot \frac{s \cdot e}{\frac{d^3}{A_d} + \frac{s^3}{3} \left(\frac{1}{A_b} + \frac{1}{A_p} \right)}$	$\frac{1}{12} \cdot \frac{\frac{d^3}{A_d} + \frac{s^3}{3} \left(\frac{1}{A_b} + \frac{1}{A_p} \right)}{s \cdot e^2}$
			
3		$\frac{E}{G} \cdot \frac{s \cdot e}{\frac{2d^3}{A_d} + \frac{e^3}{4A_v} + \frac{s^3}{12} \left(\frac{1}{A_b} + \frac{1}{A_p} \right)}$	$\frac{1}{12} \cdot \frac{\frac{2d^3}{A_d} + \frac{e^3}{4A_v} + \frac{s^3}{12} \left(\frac{1}{A_b} + \frac{1}{A_p} \right)}{s \cdot e^2}$
4		$\frac{E}{G} \cdot \frac{s \cdot e}{\frac{d^3}{2A_d} + \frac{s^3}{12} \left(\frac{1}{A_b} + \frac{1}{A_p} \right)}$	$\frac{1}{12} \cdot \frac{\frac{d^3}{2A_d} + \frac{s^3}{12} \left(\frac{1}{A_b} + \frac{1}{A_p} \right)}{s \cdot e^2}$
5		$\frac{E}{G} \cdot \frac{1}{\frac{s \cdot e^2}{12I_v} + \frac{s^2 \cdot e}{48} \left(\frac{1}{I_b} + \frac{1}{I_p} \right)}$	$\frac{1}{12} \cdot \frac{\frac{s \cdot e}{12I_v} + \frac{s \cdot e}{48} \left(\frac{1}{I_b} + \frac{1}{I_p} \right)}{e}$

۳- محاسبه دستگاههای ساختمانی نامعین متشکل از تیرهای برش نرم

محاسبه دستگاه ساختمانی نامعین متشکل از تیرهای برش نرم با در نظر گرفتن تغییر شکلهای حاصل از نیروهای برشی به کمک روشهای نیرو و افت - شیب دربندهای ۱-۳ و ۲-۳ ذکر می گردد. اگر خریا به صورت تیر برش نرم، محاسبه گردد پس از بدست آوردن t ضخامت جان نیمرخ معادل از جدول شماره ۱، می توان گشت اورجنشی، نیمرخ معادل و همچنین نرمی برشی آن را از رابطه (۴) محاسبه کرد.

۳-۱- روش نیرو

محاسبه دستگاههای ساختمانی متشکل از تیرهای برش نرم به کمک روش نیرو با در نظر گرفتن تغییر شکل برشی انجام می‌گیرد. رابطه تغییر شکل برش زیر می‌باشد:

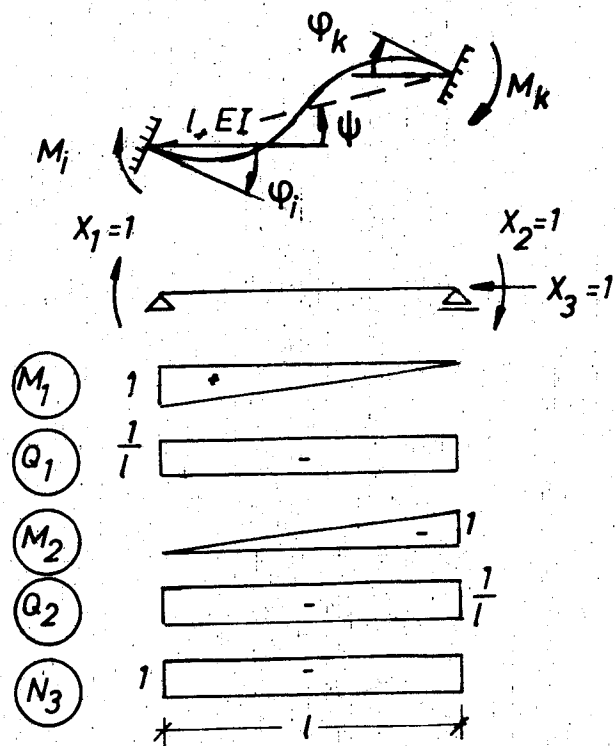
$$\delta_{iK} = \int \frac{M_i \cdot M_k}{EI} dx + \int \frac{Q_i \cdot Q_k}{G \cdot A_Q} dx \quad (10)$$

مقطع مقاوم برشی A_Q برای خرپاها از رابطه (۳) بدست می‌آید. روش محاسبه عینا " مشابه محاسبه دستگاه ساختمانی متشکل از تیرهای جان پر معمولی بوده و از ذکر آن در اینجا خودداری می‌گردد. (به کتب محاسبه سازه ها مراجعه گردد) .

۳-۲- روش افت - شیب

روابط لنگر دو سر تیر حاصل از افت - شیب و همچنین حاصل از بار گذاری با در نظر گرفتن نرمی برشی تیر در بخشهای ۳-۲-۱ و ۳-۲-۲ ذکر شده و بقیه روش عینا " مشابه محاسبه دستگاههای ساختمانی به کمک روش افت - شیب می‌باشد.

۳-۲-۱ لنگر افت - شیب برای تیر دوسرگیردار



ش ۱



شکل ۴- تیر یک سرگیردار و سردیگر مفصلی

شکل ۳- تیر دو سرگیردار

لنگرهای M_i و M_k دو انتهای k از یک تیر در اثر دوران تکیه گاه ها (شیب دو انتها) به مقدار ϕ_i و ϕ_k و زاویه

ψ حاصل از افت دو انتها (شکل ۳) عبارت اند از:

$$M_i = F_1 \cdot \frac{EI}{l} \phi_i + F_2 \cdot \frac{EI}{l} \phi_k + F_3 \cdot \frac{EI}{l} \psi + M_i^0 \quad (11a)$$

$$M_k = F_2 \cdot \frac{EI}{l} \phi_i + F_1 \cdot \frac{EI}{l} \phi_k + F_3 \cdot \frac{EI}{l} \psi + M_k^0 \quad (11b)$$

M_i^0 و M_k^0 لنگرهای گیرداری دو انتهای i و k حاصل از بارگذاری با در نظر گرفتن نرمی برشی می باشد. ضرائب F_1 و F_2 و F_3 برای یک تیر دو سرگیردار با GA ، EI و \mathcal{N}_s ثابت به کمک روش نیرو در زیر بدست می آید:

الف - دوران انتهای i به مقدار ϕ_i

در شکل ۳ نیروهای نامعین X_1 و X_2 و X_3 و همچنین لنگرهای M_1 و M_2 و نیروهای برشی Q_1 و Q_2 و نیروی محوری N_3 حاصل از $X_1=1$ و $X_2=1$ و $X_3=1$ رسم شده اند. δ_{ik} تغییر شکل نقطه i در اثر نیروی $X_k=1$ در محل k برای حالت های مختلف با استفاده از رابطه (۱۰) بشرح زیر می باشد:

$$\delta_{11} = \left(\frac{1}{3} + \frac{EI}{G.A.Q} 12 \right) \cdot \frac{1}{EI} = \left(\frac{1}{3} + \mathcal{N}_s \right) \frac{1}{EI}$$

$$\delta_{12} = \delta_{21} = \left(-\frac{1}{6} + \mathcal{N}_s \right) \frac{1}{EI}, \quad \delta_{22} = \left(\frac{1}{3} + \mathcal{N}_s \right) \frac{1}{EI}$$

معادلات سازگاری برای ϕ_i بشرح زیر می باشند:

$$\begin{aligned} \left(\frac{1}{3} + \mathcal{N}_s \right) \frac{1}{EI} X_1 + \left(-\frac{1}{6} + \mathcal{N}_s \right) \frac{1}{EI} X_2 - \phi_i &= 0 \\ \left(-\frac{1}{6} + \mathcal{N}_s \right) \frac{1}{EI} X_1 + \left(\frac{1}{3} + \mathcal{N}_s \right) \frac{1}{EI} X_2 &= 0 \end{aligned}$$

از حل دو معادله فوق مقدار X_1 و X_2 بدست می آید:

$$X_1 = \frac{4EI}{I} \cdot \frac{1+3\mathcal{N}_s}{1+12\mathcal{N}_s} \phi_i \quad (12a)$$

$$X_2 = \frac{2EI}{I} \cdot \frac{1-6\mathcal{N}_s}{1+12\mathcal{N}_s} \phi_i \quad (12b)$$

ب - دوران انتهای k به مقدار ϕ_k

مقدار X_1 و X_2 برای ϕ_k عینا " مشابه حالت الف بدست می آید:

$$X_1 = \frac{2EI}{I} \cdot \frac{1-6\mathcal{N}_s}{1+12\mathcal{N}_s} \phi_k \quad (13a)$$

$$X_2 = \frac{4EI}{I} \cdot \frac{1+3\mathcal{N}_s}{1+12\mathcal{N}_s} \phi_k \quad (13b)$$

مقادیر F_1 و F_2 از روابط (۱۲ a,b) و (۱۳ a,b) بدست می آیند:

$$F_1 = 4 \frac{1+3\mathcal{N}_s}{1+12\mathcal{N}_s} \quad (14a)$$

$$F_2 = 2 \frac{1-6\mathcal{N}_s}{1+12\mathcal{N}_s} \quad (14b)$$

ج - زاویه افت ψ

مقدار X_1 و X_2 برای ψ عینا " مشابه حالت الف بدست می آید:

$$X_1 = X_2 = \frac{6EI}{I} \cdot \frac{1}{1+12\mathcal{N}_s} \quad (15)$$

F_3 از رابطه (۱۵) بدست می آید:

$$F_3 = 6 \frac{1}{1+12\mathcal{N}_s} \quad (16)$$

به ازاء $\mathcal{N}_S=0$ ، براساس محاسبه دستگاههای ساختمانی متشکل از تیرهای جان پر معمولی خواهیم داشت:

$$F_1=4 \quad , \quad F_2=2 \quad , \quad F_3=6$$

۳-۲-۲ لنگرافت - شیب برای تیر یکسر گیردار و یکسر مفصلی (شکل ۴)

در این حالت هم عینا " مشابه حالت ۳-۲-۱ عمل می شود:

$$M_i=0 \quad (17a)$$

$$M_k = F_4 \cdot \frac{EI}{l} \phi_k + F_4 \cdot \frac{EI}{l} \psi + M_k^e \quad (17b)$$

$$F_4 = 3 \frac{l}{1+3\mathcal{N}_S} \quad (18)$$

دستگاههای ساختمانی نامعین متشکل از تیرهای برش نرم با در دست داشتن مقادیر M_i و M_k براساس روابط

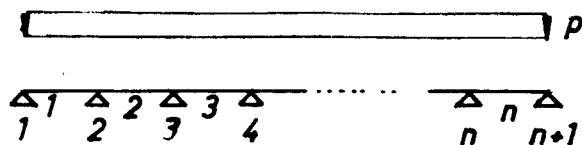
(11a,b) و (17a,b) عینا " مانند دستگاههای ساختمانی نامعین متشکل از تیرهای جان پر معمولی به کمک روش افت-شیب محاسبه می شوند.

۴- محاسبه خریهای یکسره تحت بار یکنواخت در تمام طول خریا

در اینجا با استفاده از مطالب بندهای ۳ و ۲ جداولی برای محاسبه خریهای یکسره تحت بار یکنواخت در تمام طول خریا تنظیم می شوند.

۴-۱- نیروها

در خریهای یکسره تحت بار یکنواخت مقدار ψ مساوی صفر بوده و مقدار لنگرهای M_{12}^0 و M_{22}^0 بادر نظر گرفتن نرمی برشی بشرح زیر می باشند:



شکل ۵ - خریای یکسره تحت بار یکنواخت

لنگر دهانه ۱ در تکیه گاه ۲ تحت بارهای خارجی:

$$M_{12}^0 = \frac{p \cdot l^2}{8} \cdot \frac{1}{1+3\mathcal{N}_S} \quad (19a)$$

لنگر دهانه ۲ در تکیه گاه ۲ تحت بارهای خارجی:

$$M_{22}^0 = - \frac{p \cdot l^2}{12} \quad (19b)$$

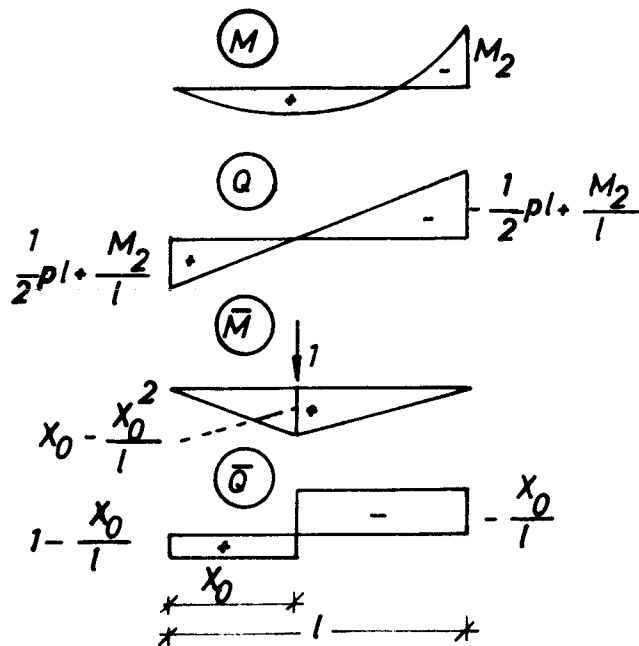
جمع لنگرهای بار خارجی در تکیه گاه ۲ (و همچنین تکیه گاه $n-1$) عبارت است از:

$$M_{12}^0 + M_{22}^0 = \frac{p \cdot l^2}{24} \cdot \frac{1-6\mathcal{N}_S}{1+3\mathcal{N}_S} = \frac{p \cdot l^2}{12} \left(1 - \frac{2}{F_1} \right) \quad (19c)$$

جمع لنگرهای بارهای خارجی در تکیه گاه های ۳ الی $(n-2)$ مساوی صفر می باشد.

۲-۴- خیز حداکثر

خیز حداکثر δ_1 برای EI ثابت در دهانه های کناری ایجاد می شود و در محاسبات تقریبی، محل خیز حداکثر با محل لنگر حداکثر این دهانه ها منطبق فرض می شود. برای محاسبه δ_1 از روش کاهش نامعینی استفاده می کنیم. (شکل ۶).



شکل ۶ - محاسبه خیز حداکثر دهانه کناری با استفاده از روش کاهش نامعینی

$$EI \delta_1 = \int MM \bar{m} dx + \mathcal{K}_s \cdot l^2 \cdot \int Q \bar{q} dx$$

Q و M به ترتیب لنگر و نیروی برشی دهانه کناری تحت بارگذاری گسترده یکنواخت در سیستم نامعین و \bar{M} و \bar{Q} لنگر و نیروی برشی همین دهانه تحت بارگذاری واحد "۱" در محل حداکثر M در دهانه کناری (یعنی در محل X_0) می باشند. مقادیر M_2 و X_0 برابرند با:

$$M_2 = m_2 \cdot p \cdot l^2, \quad X_0 = \frac{1}{2} l + \frac{M_2}{p \cdot l}$$

مقدار δ_1 با استفاده از روابط بالا محاسبه می شود:

$$\frac{EI \delta_1}{p \cdot l} = \frac{1}{3} m_2 \left(\frac{1}{2} + m_2 \right) (1 + m_2) \left(\frac{1}{2} - m_2 \right)^2 +$$

$$\mathcal{K}_s \left[\frac{1}{4} \left(\frac{1}{4} - m_2^2 \right) (1 - 2m_2) + \left(\frac{1}{16} - m_2^4 \right) + m_2^2 (1 + 2m_2) \right] \quad (21)$$

رابطه فوق را به صورت تقریبی زیر می توان خلاصه کرد:

$$\frac{EI \delta_1}{p \cdot l^4} \approx 0,005 + 0,13 \mathcal{K}_s \quad (22)$$

جدول شماره ۴ مقدار فوق را نشان می دهد و مشاهده می شود که خیز با افزایش ضریب نرمی برشی \mathcal{K}_s افزایش

می یابد.

جدول شماره ۴ - مقدار خیز در دهانه اول - $\delta = \frac{1 \cdot EI}{p \cdot l^4}$

χ_s	0,0	0,1	0,2	0,3	0,4	0,5	0,6	0,7	0,8	0,9	1,0
	0,005	0,018	0,030	0,043	0,054	0,070	0,083	0,095	0,109	0,120	0,135

۳-۴ چند مثال

۱-۳-۴ - ۱ مثال

کاربرد روش فوق در مورد خرپای معین شکل ۷ نشان داده شده و δ_m خیز وسط دهانه محاسبه می گردد.

		نیمرخ مستطیلی	سطح مقطع
O_1	O_4	$2 \times 10/20$	$A_b = 400 \text{ cm}^2$
U_1	U_4	$2 \times 10/18$	$A_p = 360 \text{ cm}^2$
D_1		$12/24$	$A_d = 216 \text{ cm}^2$
D_2, D_3, D_4		$12/18$	
V_1		$2 \times 10/18$	$A_v = 271 \text{ cm}^2$
V_2		$2 \times 10/16$	
V_3		$2 \times 10/12$	
V_4		$2 \times 10/10$	

$e = 200\text{cm}, \therefore d=320\text{cm}; \quad s = 250\text{cm}; \quad l = 2000\text{cm}$

$a = \frac{400 \cdot 200}{400+360} = 105,3 \text{ cm} \quad I = 12760 + 6226 + 124 \cdot 60^2 + 62 \cdot 120^2 = 1358286 \text{ cm}^4$

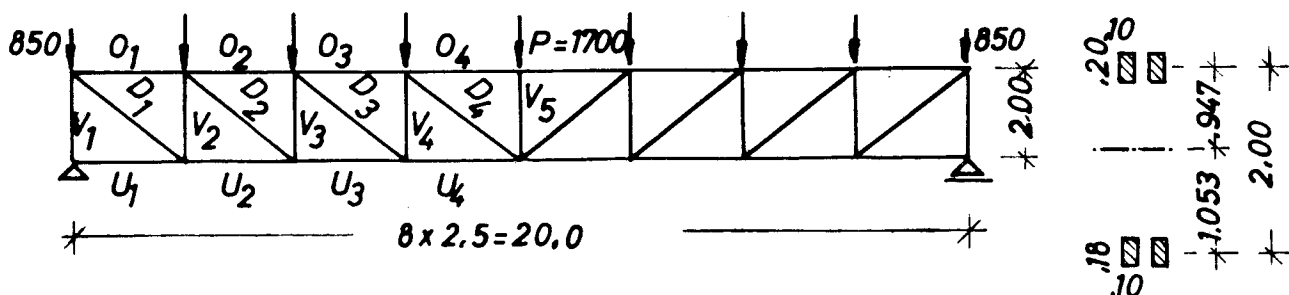
$I = 400 \cdot 94,7^2 + 2 \cdot 10 \cdot \frac{20^3}{12} + 360 \cdot 105,3^2 + 2 \cdot 10 \cdot \frac{18^3}{12} = 7602001 \text{ cm}^4$

$\chi_s = \frac{7,602 \cdot 10^6}{2000^2} \cdot \frac{\frac{320^3}{216} + \frac{200^3}{271} + \frac{250^3}{12} + \frac{250^3}{200} \left(\frac{1}{400} + \frac{1}{360} \right)}{250} = 0,0357$

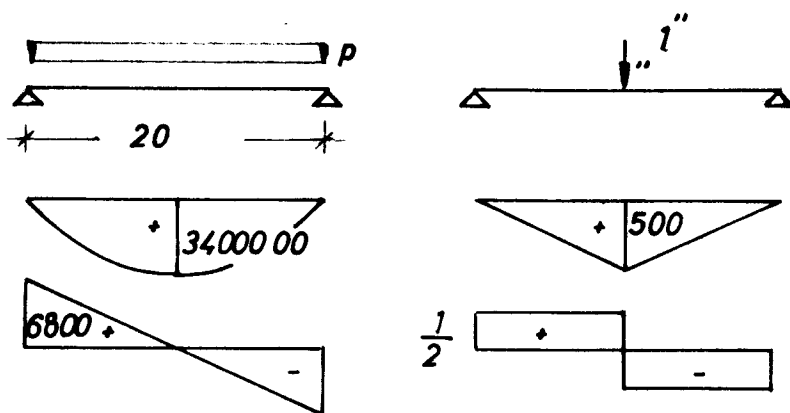
نیروهای متمرکز تبدیل به بار یکسان می گردند:

$p = \frac{8 \cdot 1700}{20} = 680 \text{ kg/m}$

محاسبات در سیستم معادل طبق شکل ۸ انجام می گیرد.



شکل ۷ - خرپای ساده چوبی



شکل ۸ - پخش‌لنگر و نیروی برشی تحت بار یکنواخت و بار واحد در وسط دهانه

$$EI \delta_m = \int M \cdot \bar{M} \, dx + \chi_s \cdot 1^2 \int Q \cdot \bar{Q} \, dx$$

$$= \frac{1}{3} 3400000 \cdot 500 (1 + 0,25) \cdot 2000$$

$$+ 0,0357 \cdot 2000^2 \cdot 2 \cdot \frac{1}{2} \cdot \frac{1}{2} 6800 \cdot 1000$$

$$= 1,416666 \cdot 10^{12} + 0,48552 \cdot 10^{12} = 1,902 \cdot 10^{12}$$

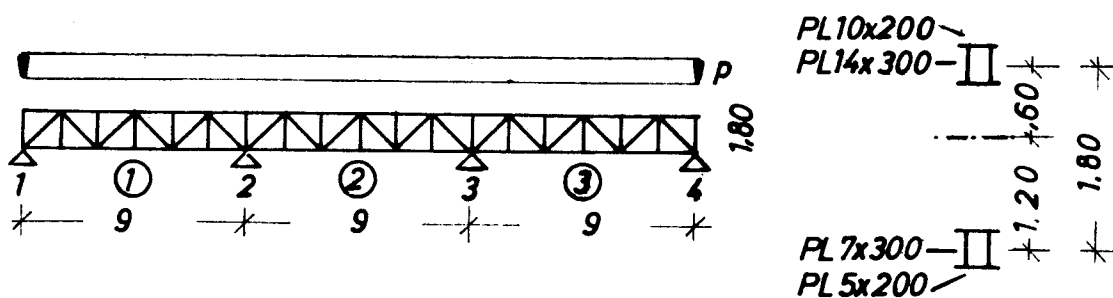
$$\delta_m = \frac{1,902 \cdot 10^{12}}{7,602 \cdot 10^6 \cdot 1,0 \cdot 10^5} = 2,50 \text{ cm}$$

جواب دقیق طبق مرجع [1] مساوی $\delta_m = 2,42$ سانتیمتر می‌باشد و مقدار δ_m با محاسبه خرابا بعنوان تیرجان پربدون در نظر گرفتن نرمی برشی یعنی برای $\chi_s = 0$ مساوی $\delta_m = 1,79$ سانتیمتر می‌شود. از اینجا ملاحظه می‌شود که جواب دقیق با جواب روش این مقاله حدود ۲ درصد تفاوت دارد در حالی که با صرف نظر از نرمی برشی تفاوت با جواب دقیق حدود ۳۴ درصد خواهد بود.

مثال ۲:

محاسبه لنگرهای تکیه گاهی و خیز حداکثر برای یک خرپای فلزی یکسره سه دهانه طبق شکل ۹ انجام می‌گیرد.

(مرجع [۲]).



شکل ۹ - خرپای فلزی سه دهانه

مشخصات سطح مقطع نیمرخ معادل در برش A-A بشرح زیر می‌باشد:

$$A_b = 2 \cdot (1,0 \cdot 20,0 + 1,4 \cdot 30,0) = 124 \text{ cm}^2 \quad \text{سطح مقطع ضلع بالائی:}$$

$$A_p = 2 \cdot (0,5 \cdot 20,0 + 0,7 \cdot 30,0) = 62 \text{ cm}^2 \quad \text{سطح مقطع ضلع پائینی:}$$

2L100X12 سطح مقطع ضلع قطری:

$$A_d = 2 \cdot 22,7 = 45,4 \text{ cm}^2 \quad \text{سطح مقطع ضلع قائم:}$$

2L70X11

$$A_v = 2 \cdot 14,3 = 28,6 \text{ cm}^2$$

$$e = 1,80 \text{ m}, \quad s = 1,50 \text{ m}, \quad l = 9,0 \text{ m}, \quad d = 2,343 \text{ m}, \quad p = 1,0 \text{ t/m}$$

$$E = 2100 \text{ t/cm}^2, \quad G = 810 \text{ t/cm}^2, \quad I_b = 12760 \text{ cm}^4, \quad I_p = 6226 \text{ cm}^4$$

$$e_s = \frac{124 \cdot 180}{124 + 62} = 120 \text{ cm},$$

طبق جدول ۱ نرمی برشی عبارت است از:

$$\kappa_s = \frac{1358186}{900^2} \cdot \frac{\frac{234,3^3}{45,4} + \frac{150^3}{3} \left(\frac{1}{124} + \frac{1}{62} \right)}{180^2 \cdot 150} = 0,11$$

لنگرهای تکیه گاهها از جدولهای ۳ و ۲ و خیز حداکثر دهانه کناری از جدول ۴ بدست می آید:

$$M_2 = M_3 = -0,089 \cdot p \cdot l^2 = -0,089 \cdot 1,0 \cdot 9,0^2 = -7,21 \text{ tm}$$

$$\delta_1 = \delta_3 = 0,02 \cdot \frac{p \cdot l^4}{EI} = 0,018 \cdot \frac{1,0 \cdot 900^4}{2100 \cdot 1358186} = 0,041 \text{ cm}$$

نتایج روشهای مختلف برای مقایسه در جدول شماره ۵ ذکر شده اند:

جدول شماره ۵- مقایسه نتایج روشهای مختلف

	محاسبات دقیق	برش نرم	تفاوت %	$\kappa_s=0$ (برش سخت)	تفاوت %
A_1 عکس العمل تکیه گاه ۱	3,693	3,69	0,08	3,60	2,5
M_2 لنگر تکیه گاه ۲	-7,26	-7,21	0,55	8,10	11,6
δ_1 خیز در دهانه ۱	-0,040	0,041	2,5	0,018	55,0

مقایسه جوابها نشان میدهد که اشتباه محاسبه به روش برش نرم نسبت به جواب دقیق خیلی کم بوده و مخصوصاً

در مورد نیروها این تفاوت کمتر از ۱ درصد می باشد.

۵- نتیجه گیری

طرز بدست آوردن ضخامت جان نیمرخ معادل برای محاسبه خرپا بصورت تیرجان پربرش نرم ، و همچنین محاسبه نرمی برشی خرپای تبدیل یافته نشان داده شده است . روابط اساسی برای محاسبه دستگاههای ساختمانی متشکل از تیرهای برش نرم با روش نیرو وافت - شیب ذکر شده است . استفاده از روش ارائه شده از میزان محاسبات به شدت می‌کاهد جداول لازم برای محاسبه لنگرهای تکیه گاهها و خیز حداکثر خرپاهای یکسره با بار یکنواخت و دهانه های یکسان داده شده است .

فهرست منابع

- [1]- HEMPEL G. "FREIGESPANNTE HOLZBINDER", 9. AUFLAGE KARLSRUHE 1971.
- [2]- NOTHNAGEL D. "BERECHNUNG VON SCHUBWELCHEN DURCHLAUFTRAEGERN", DIE BAUTECHNIK 53 (1976) H. 6, S. 203 - 207.

TRUSS ANALYSIS USING AN EQUIVALENT BEAM

WITH SHEAR FLEXIBILITY

By: M. Sadegh Azar

Assistant Professor faculty of Engineering

Tehran Universty

Abstract

Truss is considered as equivalent to a beam with shear flexibility. The web thickness of the equivalent beam is calculated for various truss forms. The basic relations utilized in the analysis of structural systems composed of beams with shear flexibility, by means of the force method and the slope - deflection method, are presented.

Finally, the tables to be used in the analysis of contineous trusses are produced.